

FIG. 1

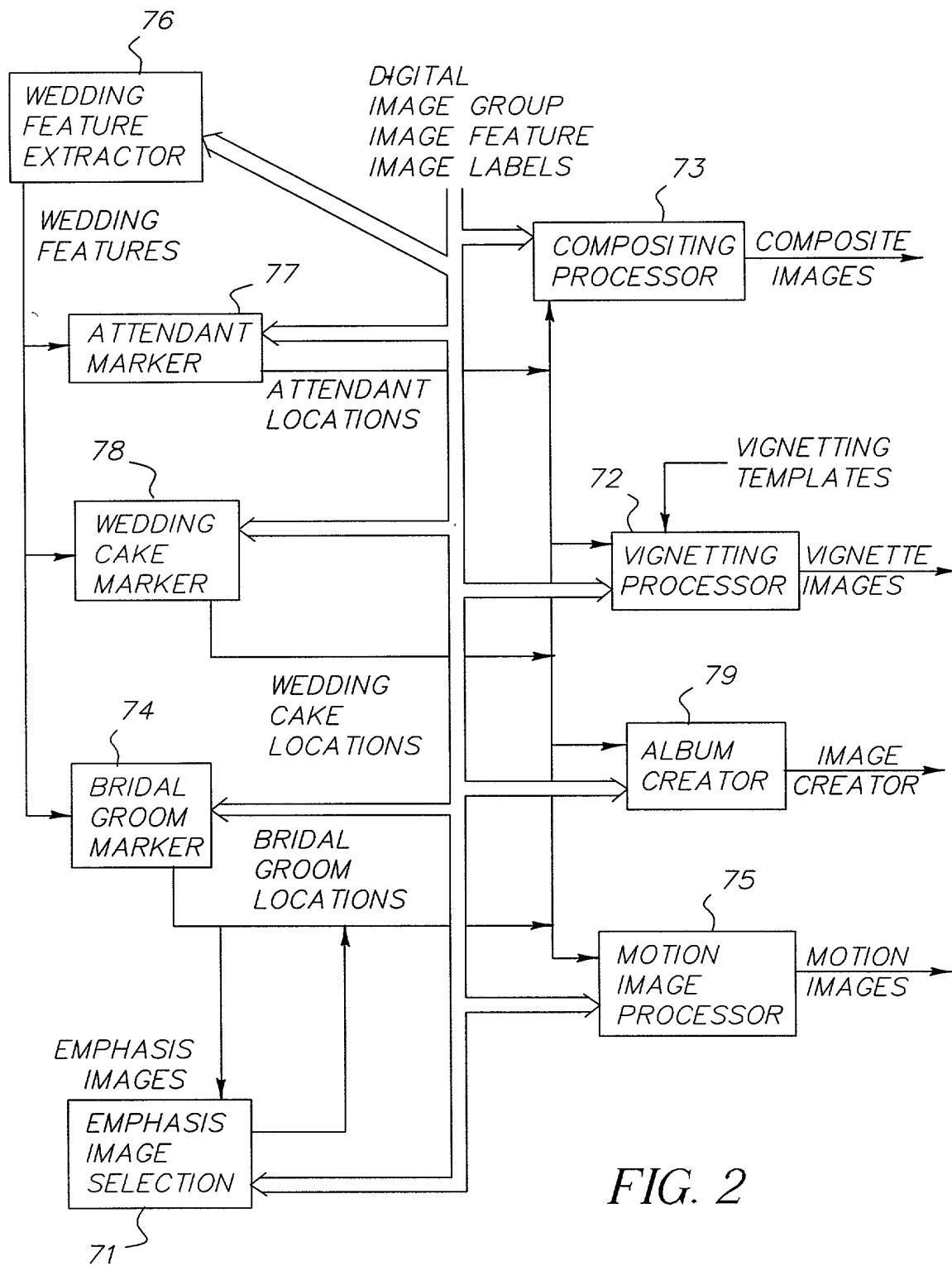


FIG. 2

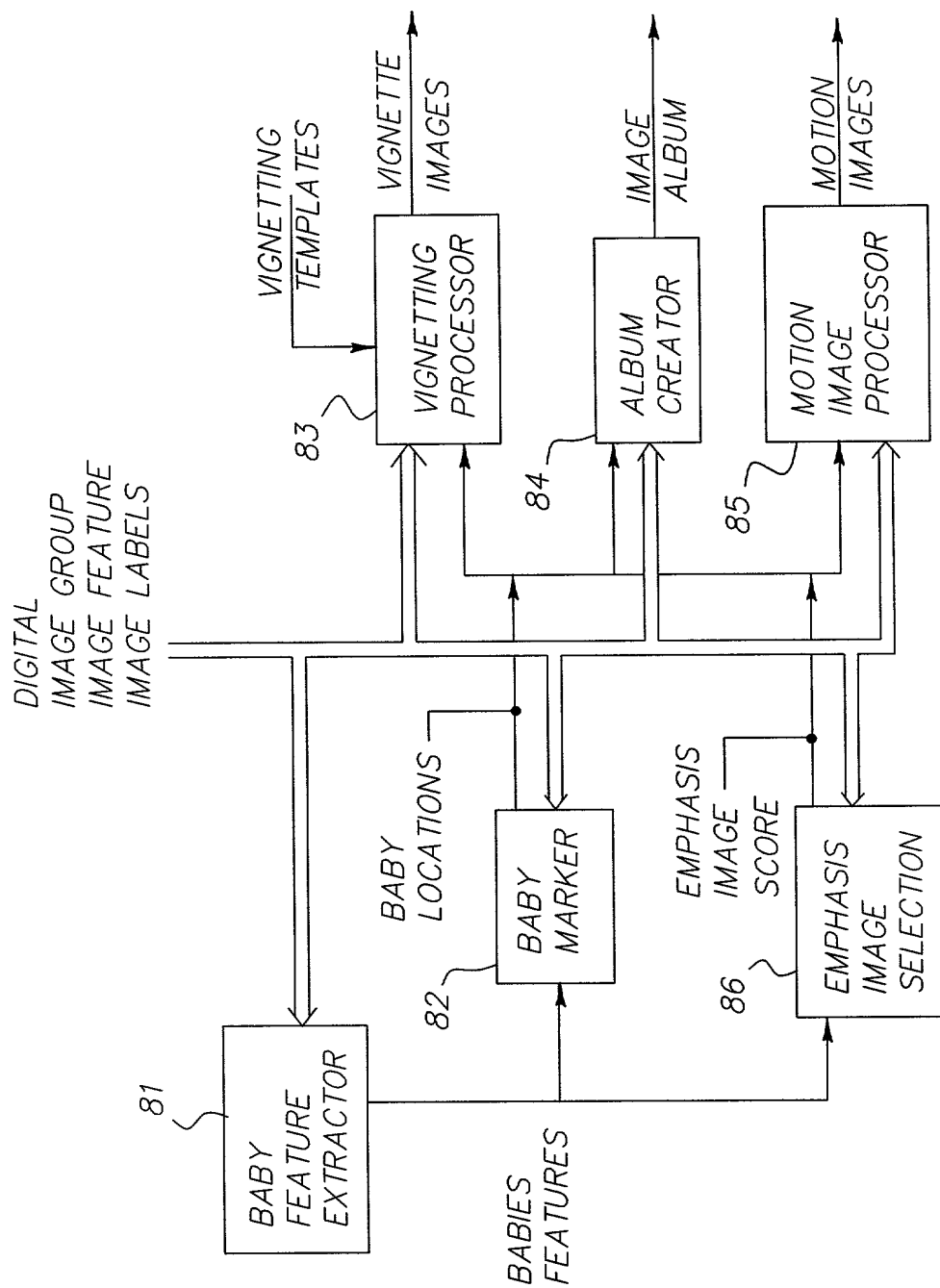


FIG. 3

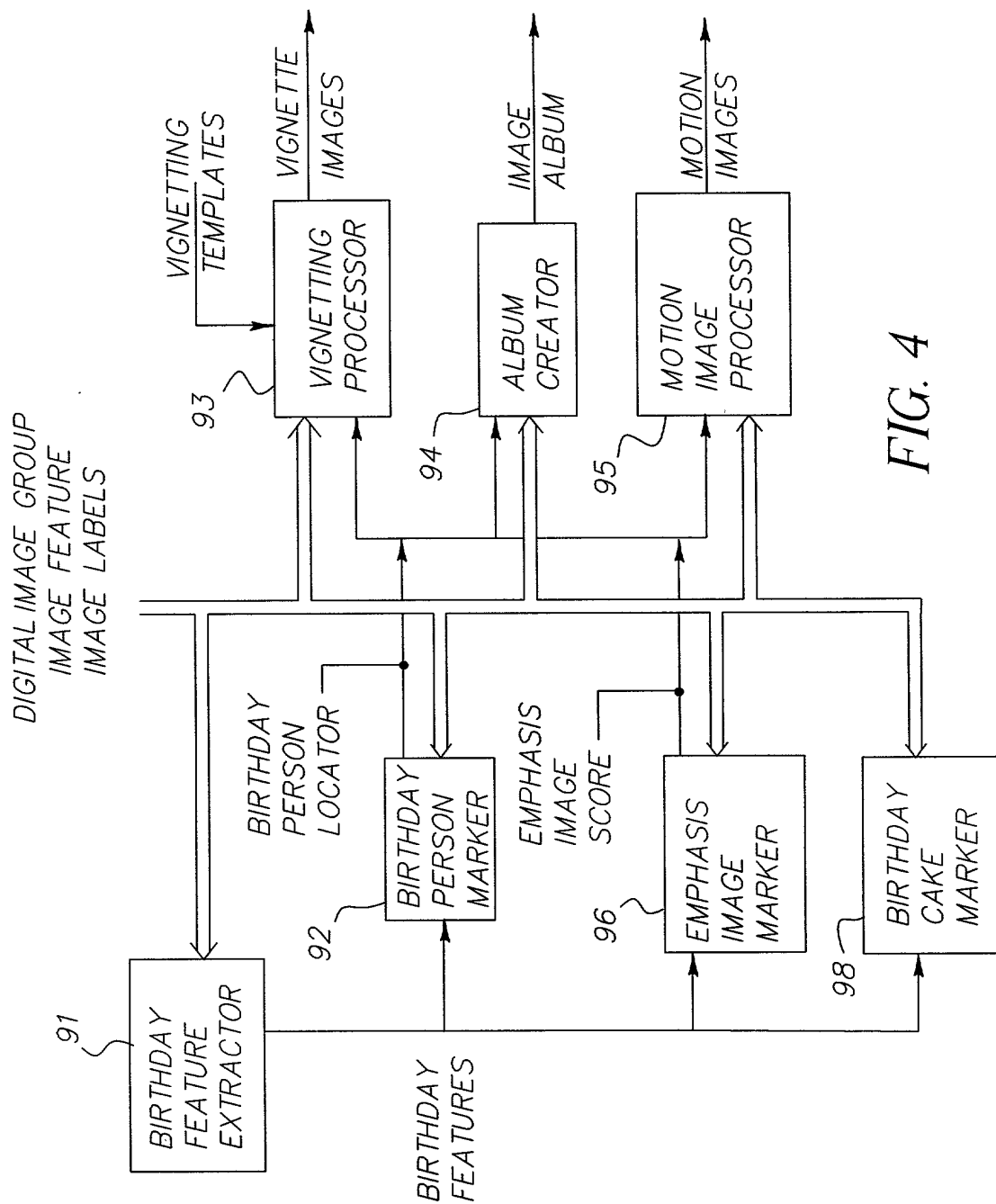


FIG. 5

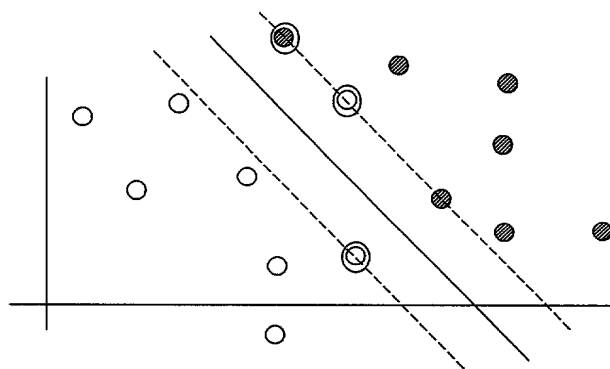


FIG. 6

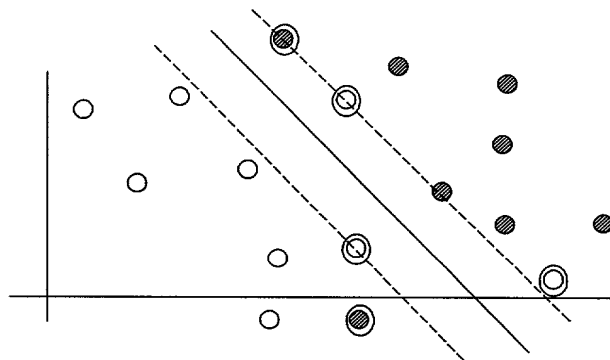
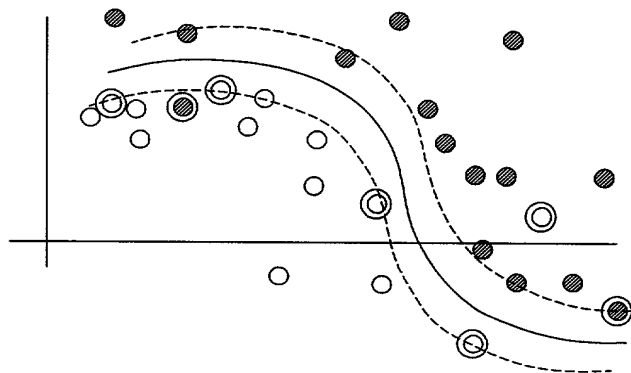


FIG. 7



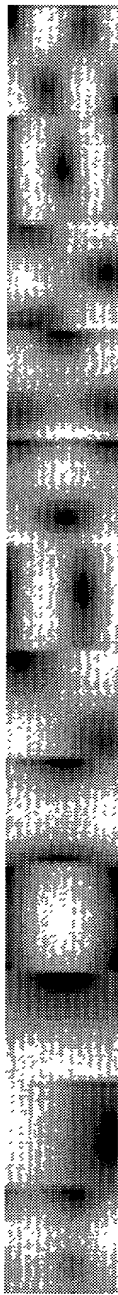


Fig. 8



Fig. 13

FIG. 9

COMPONENT	1	2	3	4	5	6	7	8	9	10	11	12
LOW RESOLUTION	412	306	244	172	160	138	110	109	102	95	81	83
MEDIUM RESOLUTION	420	307	235	169	157	141	114	111	98	95	81	83
HIGH RESOLUTION	337	278	252	196	161	179	127	116	121	111	103	89

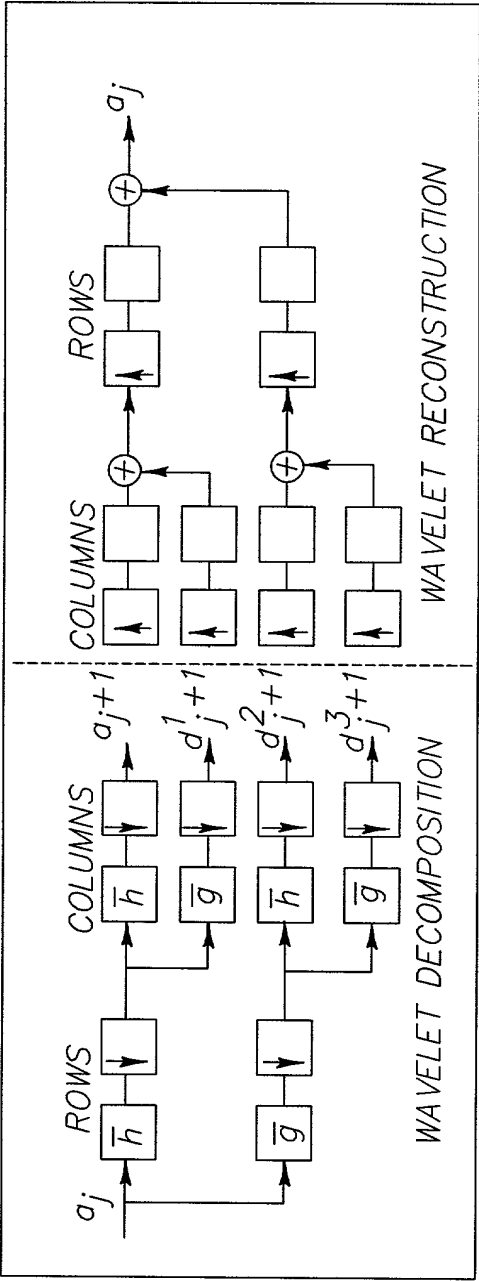


FIG. 14



Fig. 10

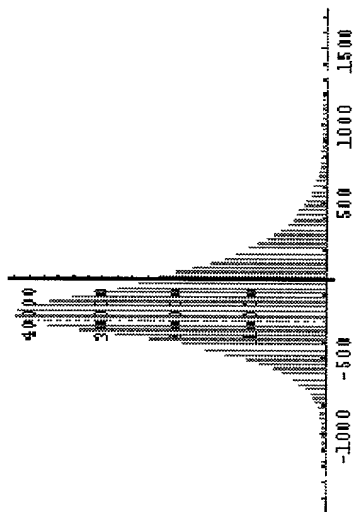


Fig. 11A

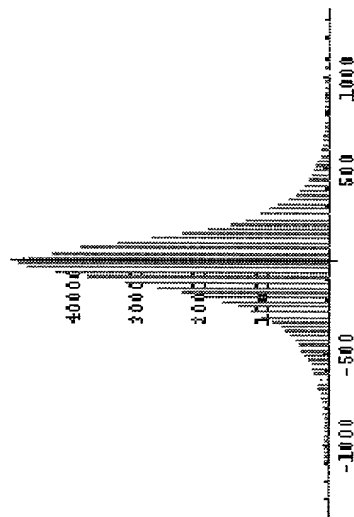


Fig. 11B

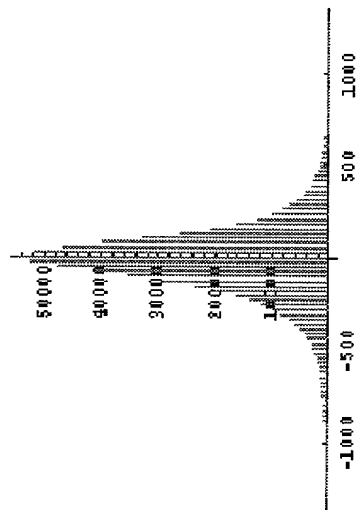


Fig. 11C

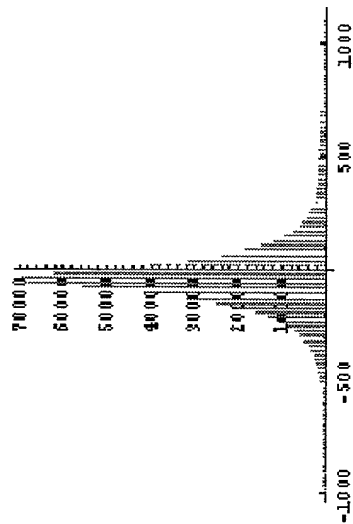


Fig. 11D



Fig. 11E

Fig. 11F

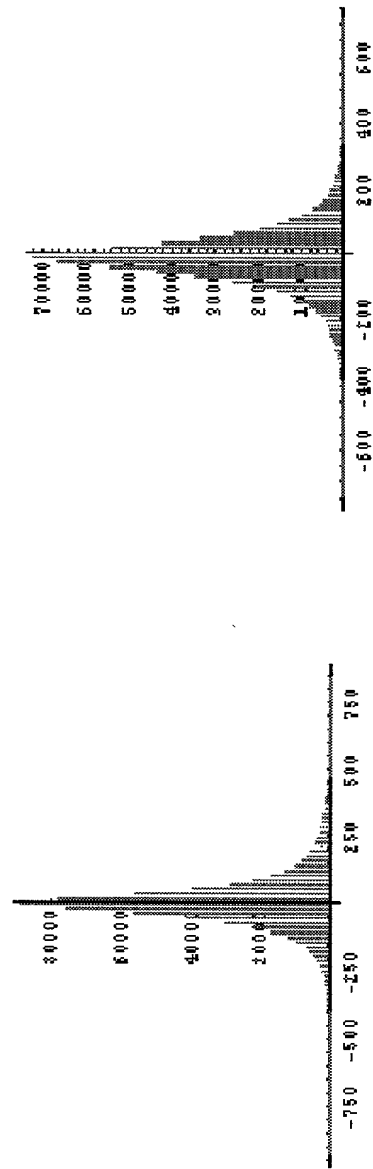


Fig. 11G

Fig. 11H

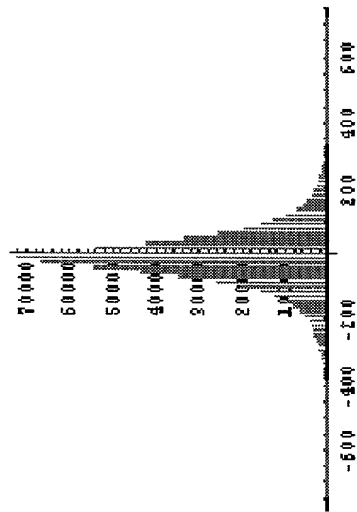


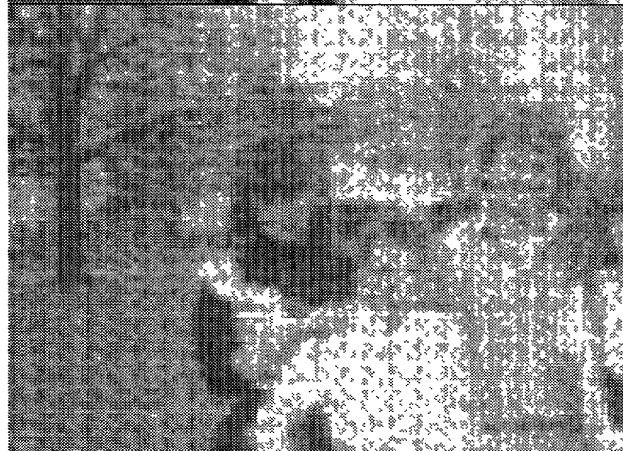
Fig. 12A



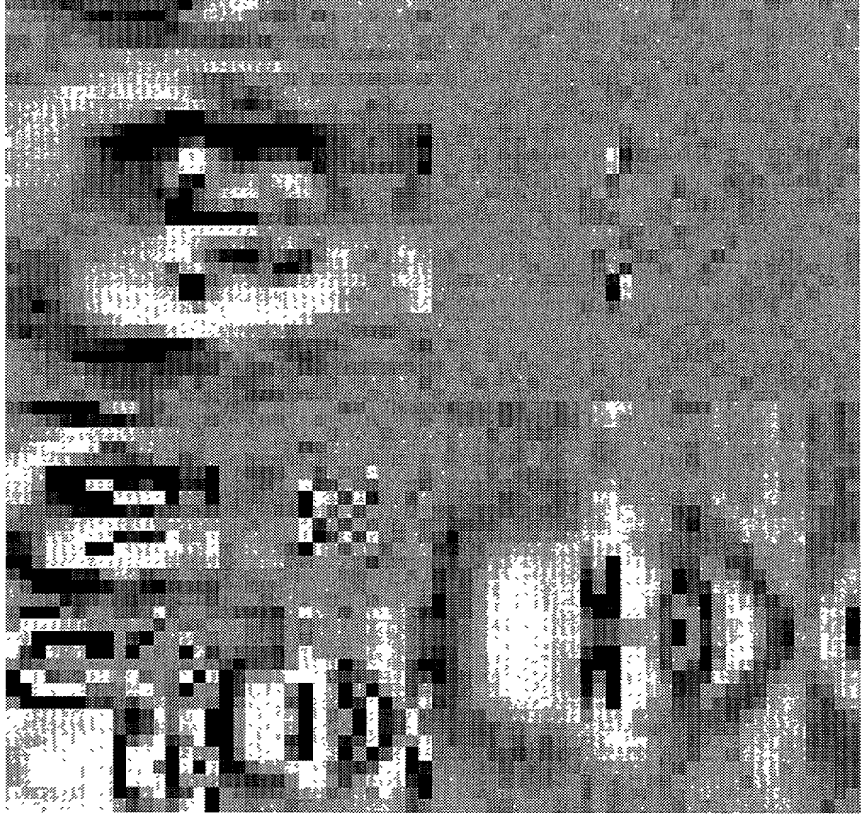
Fig. 12B



Fig. 12C



2023-03-24



8 X 8 LL	8 X 8 HL	4 X 4 HL	2 X 2 HL
8 X 8 LH	8 X 8 HH	4 X 4 HH	2 X 2 HH
4 X 4 LH	4 X 4 HH	2 X 2 LH	2 X 2 HH

Fig. 15

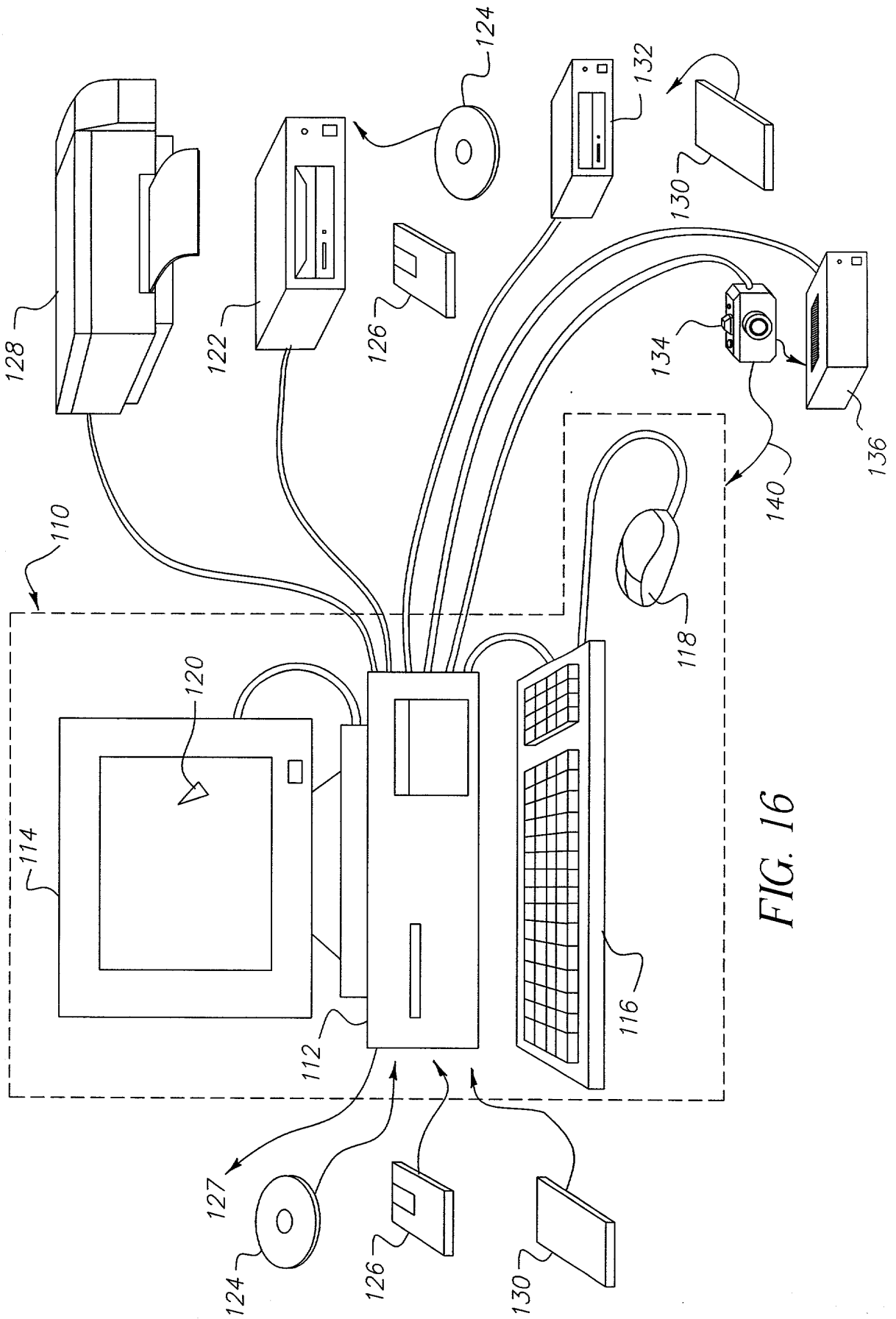


FIG. 16

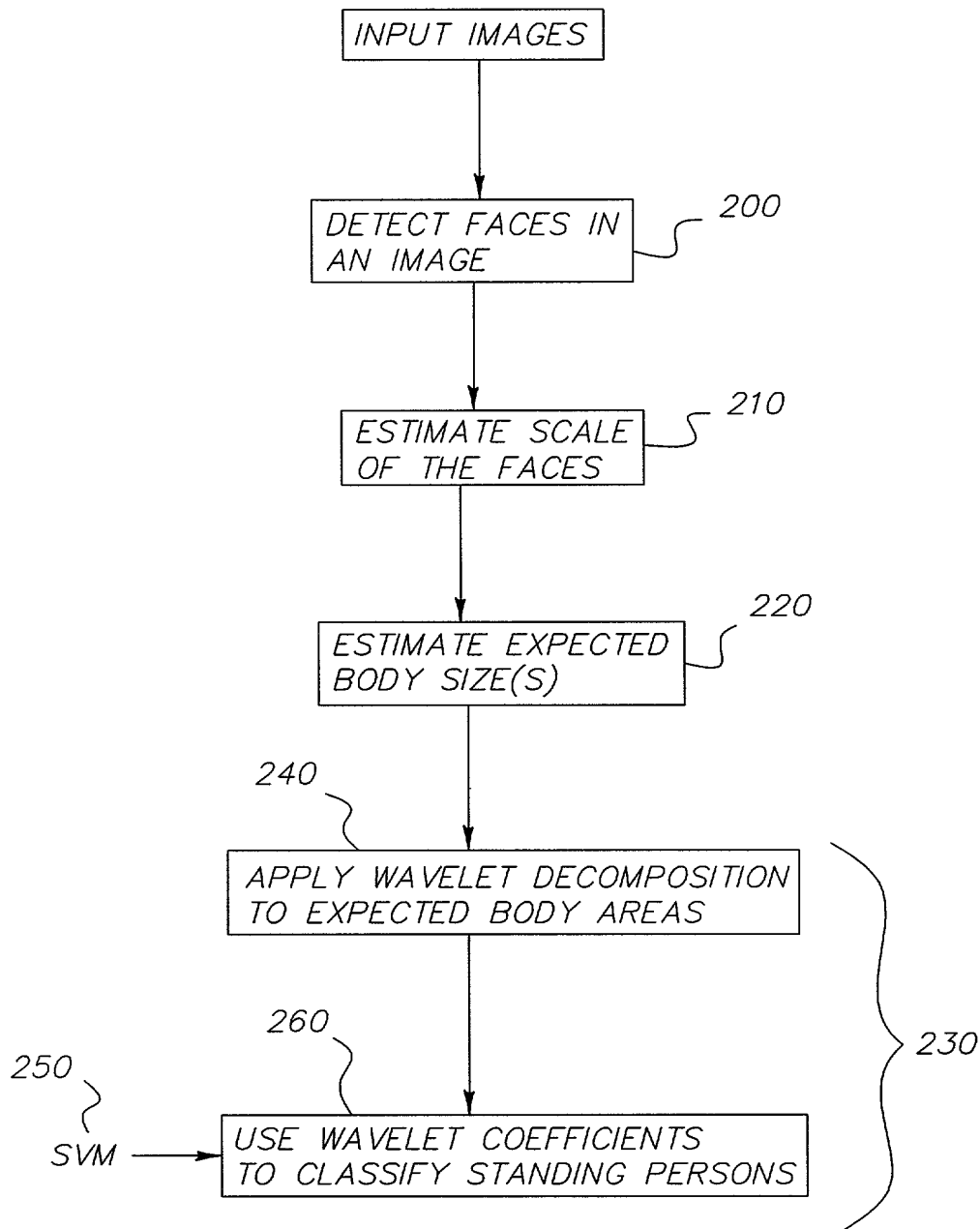


FIG. 17